

## 鉛直打継目を有するコンクリート強度が異なるP P Cはりの曲げおよびせん断性状

群馬大学 工学部 正会員 ○池田 正志  
 群馬大学 工学部 正会員 工博 辻 幸和  
 群馬大学 工学部 正会員 博士(工学) 李 春鶴  
 北海道大学大学院工学研究科 正会員 PhD 杉山 隆文

### 1. はじめに

鉄筋コンクリート構造の弱点である載荷によるひび割れを制御すること、また一時的にひび割れが生じても除荷後にひび割れが閉じること、スパンを大きく採れることなどの理由から、パーシャルプレストレストコンクリート構造（P P C）が多方面において採用されており、近年ではP P C構造物が大規模化また長大化されてきている。そのため、一度にコンクリートを打ち込むことは困難であり、鉛直打継目が避けられなくなってきた。鉛直打継目がコンクリート部材<sup>1)</sup>、鉄筋コンクリート（R C）はり<sup>2)</sup>、P P Cはり<sup>3)</sup>の力学的性状に及ぼす影響については、これまで報告してきた。

本研究では、コンクリート強度が異なる鉛直打継目を有するP P Cはりの曲げ性状とせん断性状を報告する。作製した供試体は、鉛直打継目の位置とその処理方法、プレストレス導入量、P Cグラウトの品質、引張鉄筋の一部切断の条件を組み合わせたものである。

### 2. 実験概要

#### 2. 1 供試体

図-1には、はり供試体の形状・寸法を示す。幅が300mm、高さが600mm、全長が3600mm、スパン長が3000mmの対称2点集中荷重を受ける単純ばかりである。曲げモーメント一定区間は600mmとした。下面から50mmの位置に引張鉄筋D13を5本、上面から50mmの位置に圧縮鉄筋D13を2本、下面から150mmの位置にPC鋼棒φ13を2本それぞれ配置した。1200mmのせん断スパンにはスターラップD6を100mmと200mm間隔で配置した。

表-1に使用した鉄筋およびP C鋼棒の力学的特性を示す。作製した供試体の種類を表-2に示す。コンクリートは、目標強度を35N/mm<sup>2</sup>（以下、Nシリーズと称する。）、70N/mm<sup>2</sup>（以下、Hシリーズと称する。）の2種類とした。それらの配合と載荷時における圧縮強度を表-3に示す。

表-1 鉄筋およびP C鋼棒の力学的特性

|          | 降伏点 $f_y$<br>(N/mm <sup>2</sup> ) | 引張強さ $f_u$<br>(N/mm <sup>2</sup> ) | 弾性係数 $E_s$<br>(kN/mm <sup>2</sup> ) |
|----------|-----------------------------------|------------------------------------|-------------------------------------|
| 鉄筋D13    | 384                               | 588                                | 191                                 |
| スターラップD6 | 369                               | 562                                | 178                                 |
| PC鋼棒φ13  | 930                               | 1080                               | 200                                 |

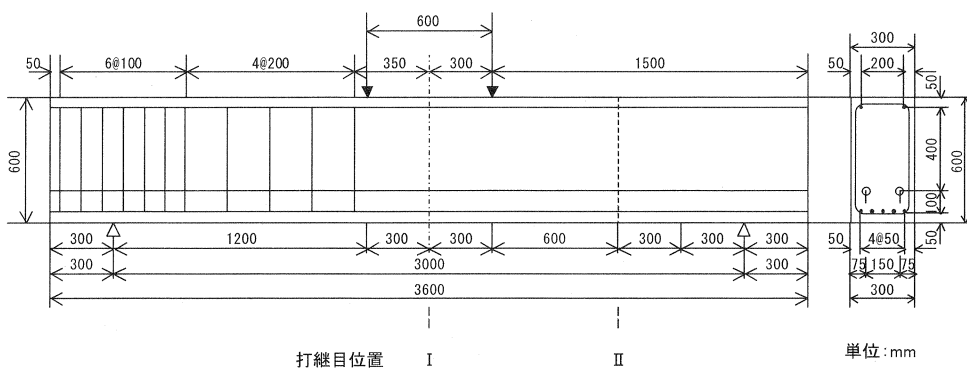


図-1 P P Cはり供試体の形状・寸法

表-2 供試体の種類

| 供試体名        | コンクリート強度(kN/mm <sup>2</sup> ) | 打継目位置 | 打継目処理方法 | PCグラウト強度(N/mm <sup>2</sup> ) | プレストレス導入量(%) | 備考      |
|-------------|-------------------------------|-------|---------|------------------------------|--------------|---------|
| N -40a      | 35                            | I     | 無       | 40                           | 80           | 主鉄筋2本切断 |
| NG I -20a   |                               |       | 良       |                              |              |         |
| NB I -20a   |                               |       | 悪       | 20                           |              |         |
| NG II -20a  |                               | II    | 良       | 40                           |              |         |
| NG II -40a  |                               |       | 良       | 60                           |              |         |
| NG II -60a  |                               |       | 悪       | 20                           |              |         |
| NB II -20a  |                               |       | 良       | 40                           |              |         |
| NG II -40b  |                               |       | 良       | 60                           |              |         |
| NG II -60b  |                               |       | 悪       | 20                           |              |         |
| NB II -20ac |                               |       | 悪       | 80                           |              |         |
| H -40a      | 70                            | I     | 無       | -                            | 80           | 主鉄筋2本切断 |
| HG I -40a   |                               |       | 良       | 40                           |              |         |
| HG I -40b   |                               |       | 良       | 20                           |              |         |
| HG II -20a  |                               | II    | 良       | 40                           |              |         |
| HG II -40a  |                               |       | 良       | 60                           |              |         |
| HG II -60a  |                               |       | 悪       | 20                           |              |         |
| HB II -20a  |                               |       | 良       | 40                           |              |         |
| HG II -40b  |                               |       | 良       | 60                           |              |         |
| HB II -60b  |                               |       | 悪       | 40                           |              |         |
| HB II -40a  |                               |       | 悪       | 80                           |              |         |

表-3 コンクリートの配合と圧縮強度

| 目標強度(N/mm <sup>2</sup> ) | 粗骨材の最大寸法(mm) | スランプ(cm) | 空気量(%)  | W/C(%) | s/a(%) | 単位量(kg/m <sup>3</sup> ) |       |      |      |      | 圧縮強度(N/mm <sup>2</sup> ) |
|--------------------------|--------------|----------|---------|--------|--------|-------------------------|-------|------|------|------|--------------------------|
|                          |              |          |         |        |        | 水W                      | セメントC | 細骨材S | 粗骨材G | 減水剤  |                          |
| 35                       | 25           | 8±2.5    | 4.5±1.5 | 50.5   | 44.8   | 156                     | 309   | 820  | 1014 | 3.71 | 35.5                     |
| 70                       | 20           | 12±2.5   |         | 33.0   | 42.0   | 159                     | 482   | 730  | 1040 | 4.82 | 77.7                     |

鉛直打継目を曲げモーメント一定区間中央のI断面に設けた供試体（以下、Iシリーズと称する。）とせん断スパン中央のII断面に設けた供試体（以下、IIシリーズと称する。），打継目を設けなかつた一体型の供試体を作製した。鉛直打継目の処理方法には、遅延剤を用いて処理し付着が十分なもの（以下、Gシリーズと称する。），ワイヤーブラシを用いて処理し付着が足りないもの（以下、Bシリーズと称する。）の2種類とした。写真-1には、打継目処理後の断面の状態を示す。

PCグラウトの品質は、目標強度を20N/mm<sup>2</sup>, 40N/mm<sup>2</sup>, 60N/mm<sup>2</sup>の3種類とした。PCグラウトの配合と圧縮強度を表-4に示す。高炉スラグ微粉末を2種類、PCグラウト用混和剤を2種類使用し、それらを組み合わせて5種類のPCグラウトを作製した。表-4中のN, Sは高炉スラグ微粉末の種類を、C, GはPCグラウト

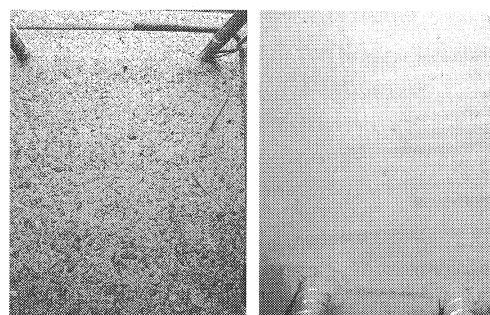


写真-1 打継目の施工方法

表-4 PCグラウトの配合と圧縮強度

| 目標強度(N/mm <sup>2</sup> ) | W/B(%) | PCグラウト用混和剤の添加率(%) | 高性能AE減水剤の添加率(%) | 16250 | 12500 | 1パッチあたりの質量(g) |     |             |     | 圧縮強度(N/mm <sup>2</sup> ) |  |
|--------------------------|--------|-------------------|-----------------|-------|-------|---------------|-----|-------------|-----|--------------------------|--|
|                          |        |                   |                 |       |       | 結合材B          |     | PCグラウト用の混和剤 |     |                          |  |
|                          |        |                   |                 |       |       | セメント量         | 種類  | 量           | 種類  |                          |  |
| 20                       | 65     | 2.0               | 0.0             | 16250 | 12500 | N             | 500 | C           | 0   | 19.6                     |  |
|                          |        |                   |                 | 11250 |       |               | S   | 250         | G   | 19.4                     |  |
| 40                       | 45     | 1.0               | 0.0             | 12500 | 12500 | N             | 175 | C           | 75  | 38.4                     |  |
|                          |        |                   |                 | 8750  |       | S             | 125 | G           | 250 | 39.5                     |  |
| 60                       | 40     | 0.7               | 0.3             | 12500 | 12500 | N             | 125 | G           | 250 | 50.5                     |  |
|                          |        |                   |                 | 8750  |       | S             | 175 | C           | 75  | 39.5                     |  |

ト用混和剤の種類をそれぞれ示す。

プレストレス導入量には、P C鋼棒の耐力の80%（以下、aシリーズと称する。）、60%（以下、bシリーズと称する。）の2種類とした。なお、コンクリート下縁に導入したプレストレス量は、それぞれ $2.74\text{N/mm}^2$ 、 $2.06\text{N/mm}^2$ であった。引張鉄筋の切断については、引張鉄筋を支点からせん断スパンの1/4の位置で2本切断した（以下、供試体名の末尾にcを追記する。）ものを作製した。

## 2.2 載荷試験

載荷方法は、支点間距離を3000mm、載荷点距離を600mmの2点集中載荷とした。また、載荷は静的漸増載荷とした。

測定項目はひび割れ幅、鉄筋とP C鋼棒のひずみ、コンクリートの圧縮縁と引張縁のひずみとした。載荷状況を写真-2に示す。ひび割れ幅の測定は、測長が100mmのπ型変位計を用い、供試体側面の引張鉄筋位置において行った。また鉄筋とP C鋼棒のひずみはゲージ長が6mmの、コンクリートの圧縮縁ひずみと引張縁ひずみはゲージ長が60mmのワイヤーストレインゲージをそれぞれ用いて計測した。

## 3. 曲げひび割れ発生モーメント

表-5には、曲げひび割れ発生モーメントおよびその発生位置を示す。曲げひび割れの発生は、コンクリート引張縁ひずみ、引張鉄筋ひずみ、はり側面の引張鉄筋位置のπ型変位計のいずれかの値が急変する点と判定し、その時の荷重から曲げひび割れが発生した位置での曲げモーメントを、曲げひび割れ発生モーメントとした。

また、一体型供試体に対する各供試体の曲げひび割れ発生モーメントの割合を、図-2に示す。打継目をI断面に設けたはりは、一体型供試体と比較して曲げひび割れ発生モーメントが小さくなつた。曲

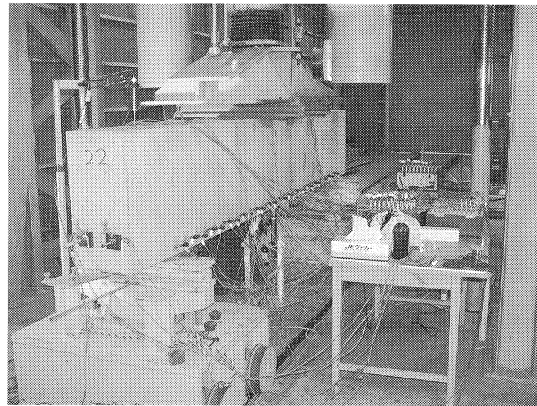


写真-2 載荷状況

表-5 曲げひび割れ発生モーメントおよびその発生位置

| 供試体No. | 供試体名        | 発生位置    | 曲げひび割れ発生モーメント(kN·m) |
|--------|-------------|---------|---------------------|
| 1      | N -40a      | BMC     | 48.6                |
| 2      | NG I -20a   | BMC (J) | 36.6                |
| 3      | NB I -20a   | BMC (J) | 27.6                |
| 4      | NG II -20a  | BMC     | 36.6                |
| 5      | NG II -40a  | BMC     | 46.2                |
| 6      | NG II -60a  | BMC     | 54.0                |
| 7      | NB II -20a  | J (II)  | 20.7                |
| 8      | NG II -40b  | BMC     | 53.4                |
| 9      | NG II -60b  | BMC     | 54.0                |
| 10     | NB II -20ac | J (II)  | 24.3                |
| 11     | H -40a      | BMC     | 99.6                |
| 12     | HG I -40a   | BMC (J) | 53.4                |
| 13     | HG I -40b   | BMC (J) | 44.4                |
| 14     | HG II -20a  | BMC     | 82.2                |
| 15     | HG II -40a  | BMC     | 73.8                |
| 16     | HG II -60a  | BMC     | 86.4                |
| 17     | HB II -20a  | J (II)  | 34.5                |
| 18     | HG II -40b  | BMC     | 70.8                |
| 19     | HB II -60b  | J (II)  | 35.1                |
| 20     | HB II -40a  | J (II)  | 39.6                |

BMC:曲げモーメント一定区間

BMC (J):曲げモーメント一定区間の打継目

J (II):せん断スパン中央の打継目(II断面)

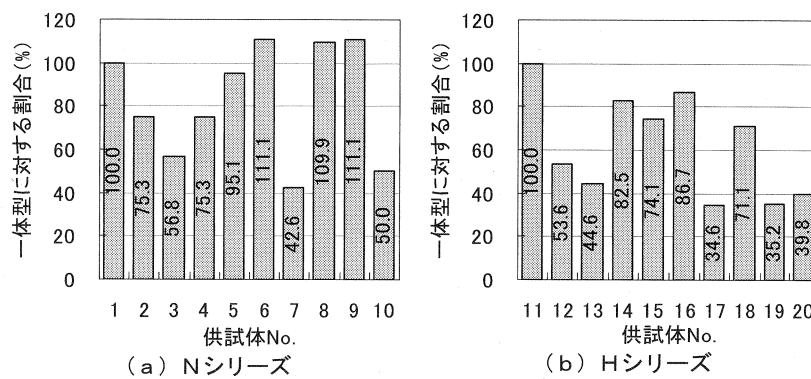


図-2 一体型供試体に対する各供試体の曲げひび割れ発生モーメントの割合

げモーメント一定区間に比べ、作用曲げモーメントが1/2となるせん断スパンの中央のⅡ断面に打継目を設けたはりは、打継目の処理が悪いBシリーズにおいてのみ、打継目に最初に曲げひび割れが発生した。打継目部分でのコンクリートの付着強度が小さいためである。そして、打継目の処理に遮延剤を用いること、プレストレス導入量を大きくすることにより、曲げひび割れ発生モーメントの低減が緩和され、曲げモーメント一定区間に最初のひび割れが発生することが確かめられた。

Nシリーズと比較すると、高強度コンクリートを用いたHシリーズが曲げひび割れ発生モーメントは大きくなることも確かめられた。

#### 4. ひび割れ性状

土木学会コンクリート標準示方書に規定されている許容ひび割れ幅を、式(1)に示す。本研究の断面形状寸法と鉄筋の配置方法では、許容ひびわれ幅は約0.22mmとなる。このことから、最大ひび割れ幅が0.2mmのときを基準とし、今後の検討を行った。

$$W_a = 0.005c \quad \cdots \text{式 (1)}$$

$W_a$  : 許容ひび割れ幅 (mm)

c : かぶり (mm)

##### 4.1 ひび割れ発生状況

表-6には、各供試体のひび割れの本数を示す。Nシリーズでは、曲げモーメント一定区間に生じたひび割れの本数の平均は5.0本であるのに対し、Hシリーズでは4.4本であった。コンクリート強度を35N/mm<sup>2</sup>から70N/mm<sup>2</sup>に増加させると、曲げモーメント一定区間のひび割れの本数は約10%減少している。なお、打継目の無い供試体と比較して、曲げモーメント一定区間のI断面に打継目を設けた供試体は、その一定区間においてひび割れ本数が増加する傾向が見られた。打継目に曲げひび割れが最初に生じたためである。

せん断スパンに発生するひび割れの数は、せん断スパン中央に鉛直打継目が配置されてもほぼ等しいことが、いずれの強度についても認められる。そして、せん断スパンが曲げモーメント一定区間の2倍あったため、高強度のコンクリートを用いたP Cはりでは、ひび割れ本数がNシリーズに比べて約20%減少している。したがって、はり全体のひび割れ本数は、Nシリーズでは15.2本であるのに対し、Hシリーズでは12.8本と約15%減少している。

プレストレスの導入量を大きくすることにより、Ⅱ断面に打継目を有するはりでは、せん断スパンのひび割れ本数がNシリーズで

は打継目無しの区間でも減少し、その結果全体のひび割れ本数が減少する傾向が見られた。しかしコンクリート強度の高いHシリーズでは、必ずしもこのような傾向は認められなかった。

またP Cグラウト強度が増加すると、Ⅱ断面に打継目を有するせん断スパンにおけるNシリーズのひび割れ本数は減少する傾向が見られた。P C鋼棒との付着が良くなり、打継目のひび割れの抑制

表-6 ひび割れの本数

| 供試体名        | せん断スパン<br>(Ⅱ断面) | せん断スパン<br>(打継目無し) | せん断スパン<br>(全体) | 曲げモーメント<br>一定区間 | 全体   |
|-------------|-----------------|-------------------|----------------|-----------------|------|
| N -40a      | 5               | 6                 | 11             | 4               | 15   |
| NG I -20a   | 5               | 6                 | 11             | 5               | 16   |
| NB I -20a   | 5               | 6                 | 11             | 5               | 16   |
| NG II -20a  | 6               | 4                 | 10             | 5               | 15   |
| NG II -40a  | 5               | 6                 | 11             | 5               | 16   |
| NG II -60a  | 3               | 4                 | 7              | 5               | 12   |
| NB II -20a  | 6               | 4                 | 10             | 5               | 15   |
| NG II -40b  | 6               | 7                 | 13             | 5               | 18   |
| NG II -60b  | 4               | 6                 | 10             | 6               | 16   |
| NB II -20ac | 4               | 4                 | 8              | 5               | 13   |
| 平均          | 4.9             | 5.3               | 10.2           | 5.0             | 15.2 |
| H -40a      | 4               | 4                 | 8              | 3               | 11   |
| HG I -40a   | 4               | 5                 | 9              | 5               | 14   |
| HG I -40b   | 4               | 4                 | 8              | 5               | 13   |
| HG II -20a  | 3               | 4                 | 7              | 5               | 12   |
| HG II -40a  | 4               | 4                 | 8              | 5               | 13   |
| HG II -60a  | 4               | 6                 | 10             | 4               | 14   |
| HB II -20a  | 4               | 4                 | 8              | 4               | 12   |
| HG II -40b  | 5               | 4                 | 9              | 4               | 13   |
| HB II -60b  | 4               | 4                 | 8              | 3               | 11   |
| HB II -40a  | 4               | 5                 | 9              | 6               | 15   |
| 平均          | 4               | 4.4               | 8.4            | 4.4             | 12.8 |

効果が大きくなつたためであると思われる。しかしHシリーズでは、このような傾向は認められなかつた。

以上より、ひび割れの本数は、普通コンクリートを用いたPPCはりに比べて、高強度コンクリートを用いること減少するとともに、普通コンクリートを用いたPPCはりで認められたプレストレス導入量やPCグラウト強度がひび割れ発生状況に及ぼす影響は、高強度コンクリートを用いたPPCはりではほとんど認められなくなる。

#### 4.2 最大ひび割れ幅

図-3に、コンクリート強度と最大ひび割れ幅が0.2mm時における曲げモーメントの関係を示す。打継目の無い一体型、打継目があるPCグラウトの強度、打継目処理方法、プレストレスの導入量がそれぞれ同じで、コンクリート強度(N, Hシリーズ)のみが異なる6組のはりについて示している。最大ひび割れ幅は曲げモーメント一定区間に生じており、それをπ型変位計により求めた。

Nシリーズと比較すると、Hシリーズでは最大ひび割れ幅が0.2mmに達する曲げモーメントが大きくなる傾向がいずれのケースにおいても認められる。コンクリートの強度が大きいことにより、同一の曲げモーメントでは最大ひび割れ幅が小さくなり、その結果同じひび割れ幅に達する曲げモーメントが大きくなるためである。

#### 5. 最大曲げモーメントおよび破壊形式

表-7には、各供試体の最大曲げモーメントおよび破壊形式を示す。Nシリーズにおける各供試体の最大曲げモーメントは331～363kN・mであった。Hシリーズでの各供試体の最大曲げモーメントは370～395kN・mであり、Nシリーズと比較して10%程度大きな値を示した。一体型供試体と比較すると、ほとんどの供試体で最大

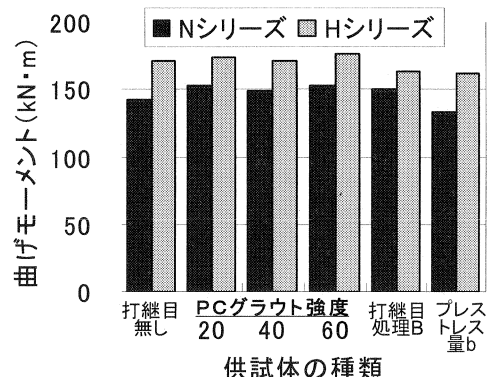
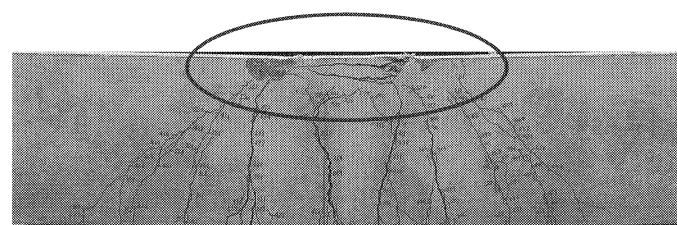


図-3 コンクリート強度による最大ひび割れ幅が0.2mm時の曲げモーメント

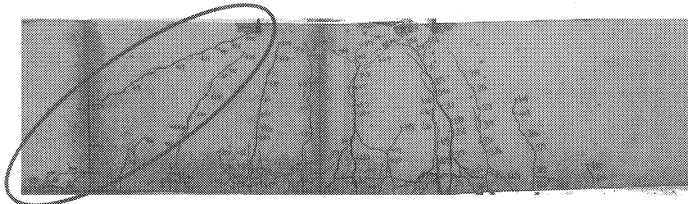
表-7 最大曲げモーメントおよび破壊形式

| 供試体名        | 最大曲げモーメント (kN·m) | 破壊形式 | 供試体名       | 最大曲げモーメント (kN·m) | 破壊形式 |
|-------------|------------------|------|------------|------------------|------|
| N -40a      | 331              | BF   | H -40a     | 373              | BF   |
| NG I -20a   | 344              | BF   | HG I -40a  | 395              | BF   |
| NB I -20a   | 337              | BF   | HG I -40b  | 391              | BF   |
| NG II -20a  | 347              | BF   | HG II -20a | 383              | BF   |
| NG II -40a  | 343              | BF   | HG II -40a | 382              | BF   |
| NG II -60a  | 354              | BF   | HG II -60a | 374              | BF   |
| NB II -20a  | 363              | SCF  | HB II -20a | 379              | SCF  |
| NG II -40b  | 352              | BF   | HG II -40b | 374              | BF   |
| NG II -60b  | 353              | BF   | HB II -60b | 370              | SCF  |
| NB II -20ac | 356              | SCF  | HB II -40a | 380              | SCF  |

BF: 曲げ破壊, SCF: せん断圧縮破壊



(a) 曲げ破壊 (H-40a)



(b) せん断圧縮破壊 (HB II-20a)

写真-3 破壊状況の一例

曲げモーメントは大きくなつたがその差は大きくなつたため、鉛直打継目の影響は小さいと考えられる。

供試体の破壊状況の一例を写真-3に示す。破壊形式はほとんどの供試体で曲げ破壊となつたが、打継目をII断面に設けて打継目の処理をワイヤーブラシで行つたはりのみが、高強度コンクリートを用いた場合も含めせん断圧縮破壊となつた。鉛直打継目に沿つて斜めひび割れが不連続に発生し、鉛直打継目に沿つたひび割れ幅が拡大しながら斜めひび割れが卓越して最終的にせん断圧縮破壊に至つた。このことから、打継目をせん断スパンの中央付近に設け、その処理をワイヤーブラシのみで行うなどの不良の状態であると、最大荷重にはほとんど変化はないが、せん断圧縮破壊へと脆い破壊形式に移行する傾向があると考えられる。このせん断圧縮破壊を生じたはりを、表-7にSCFの記号で示している。

鉛直打継目から支点方向へせん断スパンの1/4の長さ延ばして5本の引張鉄筋のうち2本を切断したNB II-20acはりも、せん断圧縮破壊を生じたが、切断しないはりと同等の最大荷重を示した。このような切断方法により、引張鉄筋を切断して定着できると考えられる。

## 6. まとめ

鉛直打継目を有するコンクリートの強度が $35N/mm^2$ と $70N/mm^2$ のパーシャルプレストレストコンクリート(PPC)はりの曲げおよびせん断性状を実験的に検討した結果、本研究の範囲内で次の知見を得た。

- (1) 打継目の位置が曲げモーメント一定区間のI断面の場合には、初期曲げひび割れが打継目部分に発生し、その曲げひび割れ発生モーメントは小さくなる。せん断スパン中央部のII断面に打継目を有し、打継目の処理がワイヤーブラシで洗つた程度の場合には、その部分に初期ひび割れが発生し、曲げひび割れ発生モーメントが小さくなる。その場合に、打継目に遮断剤を用いて処理すること、プレストレス導入量を大きくすることにより、曲げひび割れ発生モーメントを大きくすることができます。
- (2) 最大ひび割れ幅が0.2mmに達するときの曲げモーメントは、コンクリート強度を大きくすること、プレストレス導入量を大きくすることにより、それぞれ大きくなる。なおこの曲げモーメントに及ぼすPCグラウト強度の影響は小さい。
- (3) 破壊時の最大曲げモーメントは、高強度コンクリートを使用することにより大きくなる。破壊形式は、鉛直打継目の位置と処理方法の影響を受けるが、打継目の位置にかかわらず遮断剤を用いて処理した場合には曲げ圧縮破壊となつた。しかしながら、せん断スパン中央に打継目を設けてワイヤーブラシで処理するといった打継目の付着強度が不十分である場合には、せん断圧縮破壊となつた。

## 謝辞

本研究は、科学研究費補助金(基盤研究(B)(2)課題番号15360229、代表者：辻幸和群馬大学教授)および極東鋼弦コンクリート振興(株)との共同研究を受けて実施したものである。本研究の実施には、当時当研究室の院生と学部学生であった藤本謙太郎氏(現、㈱ピーエス三菱)、佐藤明氏(現、旭化成ライフルイン㈱)、石黒健一氏(現、㈱富士ピー・エス)に多大なご援助を頂いた。そして、供試体の作製と載荷実験には、ドーピー建設工業㈱関東工場に多大なご支援とご援助を頂いた。付記して、厚くお礼を申し上げる。

## 参考文献

- 1) 森脇貴志ほか：ポリマーセメントモルタルを用いた打継目の曲げ性状、コンクリート工学年次論文報告集、Vol. 16, No. 1, pp. 1257-1262, 1994.
- 2) 森脇貴志ほか：鉄筋コンクリートはりによるポリマーセメントモルタルを打継ぎ材に用いた打継目の性能評価、土木学会論文集、No. 538/V-31, pp. 1-14, 1996.
- 3) 藤本謙太郎ほか：高炉スラグ微粉末を併用したPCグラウトのフレッシュおよび強度性状、コンクリート工学年次論文集、Vol. 26, No. 1, pp. 129-134, 2004.6